

*Kopie der Dia-Unterrichtsreihe (83)  
für radiomuseum.org von W. Eckardt Jena*

# Rundfunk Technik

## II

### **RÖHREN**

**83**

**NR. IV. -14-59**



**AUF AGFA 325 SUPERPAN**

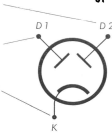
- Bild 1 Aufbau einer Duodiode.  
 Bild 2 Aufbau der Stahlröhren EB 11 und EBF 11.  
 Bild 3 Schaltbild für Verwendung einer Duodiode.  
 Bild 4 Aufbau einer Triode AC 2.  
 Bild 5 Duodiode-Triode ABC 1  
 Bild 6 Aufbau und Sockelschaltung einer Verstärkerpentode AF 7.  
 Bild 7 Schaltung des HF-Teiles mit selbsttätiger Scharfabstimmung.  
 Die Nachstimmanordnung ist stark eingezeichnet.  
 Bild 8 Aufbau und Kennlinie einer Regelpentode AF 3.  
 Bild 9 Aufbau einer Hexode AH 1.  
 Bild 10 Aufbau der Verbundröhre ACH 1.  
 Bild 11 Aufbau einer Oktode AK 2.  
 Bild 12 Schaltbild für eine Mischstufe.  
 Bild 13 Aufbau einer Endpentode AL 4.  
 Bild 14 Aufbau einer Abstimmanzeigeröhre AM 2.  
 Rechts 3 Stellungen des Leuchtwinkels.  
 Bild 15 Innerer Aufbau der NF-Regelröhre mit Abstimmanzeigeteil EFM 11  
 Bild 16 Schaltung und Wirkungsweise der Zweiweg-Netzgleichrichtung.  
 Bild 17 Aufbau einer Zweiweg-Netzgleichrichterröhre AZ 1.  
 Bild 18 Heizfadenanordnung bei direkt geheizten Röhren.  
 Bild 19 Aufbau von indirekt geheizten Kathoden.  
 Bild 20 Einfaches Röhrensystem einer Triode und Gitter einer Regelröhre.  
 Bild 21 Schaltzeichen für Röhren.  
 Bild 22 Aufbau einer Glasröhre mit Quetschfuß.  
 Bild 23 Aufbau einer Stahlröhre.  
 Bild 24 Aufbau einer Glasröhre mit Pressglassockel.  
 Bild 25 Elektrisches Feld und Elektronenbewegung in einer Röhre.  
 Bild 26 Gleichrichterschaltung A, Belastung anodenseitig.  
 Bild 27 Gleichrichterschaltung B, Belastung kathodenseitig,  
 Wechselspannung geerdet.  
 Bild 28 Gleichrichterschaltung C, Belastung kathodenseitig, Kathode geerdet.  
 Bild 29 Erklärung der Zweiweggleichrichtung aus zwei Einweggleichrichtern.  
 Bild 30 Betriebsspannungen einer Triode.  
 Bild 31 Erläuterung des inneren Wechselstromwiderstandes einer Röhre.  
 Bild 32 Anodenwechselspannungsabfall an einem Anodenwiderstand.  
 Bild 33 Gleichbleibender Anodenstrom bei schwankender Anodenspannung durch Schirmgitterwirkung.  
 Bild 34 Fernhaltung der Sekundärelektronen vom Schirmgitter durch Bremsgitter.  
 Bild 35 Kopplung zweier Kreise über die Gitter-Anodenkapazität.  
 Bild 36 Misch- und Oszillatorröhrensystem in einem Kolben vereinigt.  
 Bild 37 Reihenschaltung von Oszillatortriode und Mischhexode in einer Oktode.  
 Bild 38 Aufnahme von Anodenspannungskennlinien  
 durch Ändern der Anodenspannung.



Anode

Anode

Kathode K



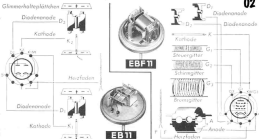
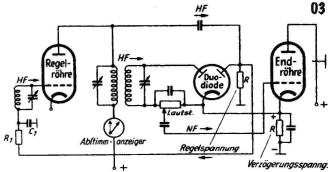
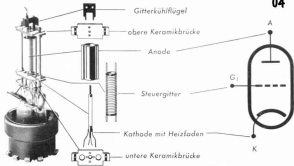
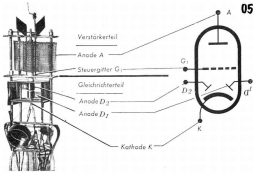
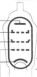


Bild 68. Gewusstzlicher Aufbau der Stahlröhren EB 11 (Diode) und EBF 11 (Diode-Pentode)

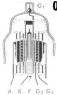


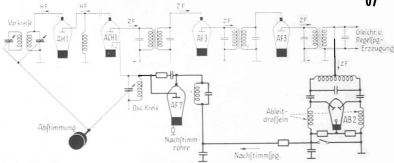


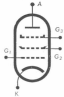
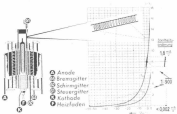


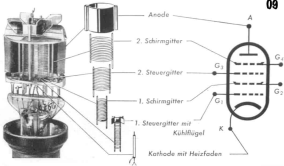


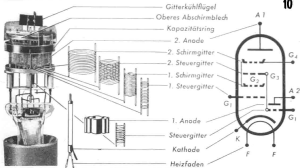
-  — Anode
-  — Branzgitter
-  — Schirmgitter
-  — Steuergitter
-  — Kathode
-  — Heizfaden

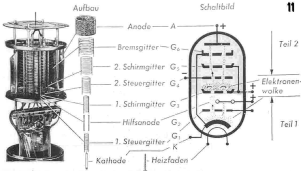


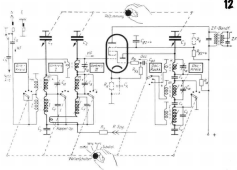


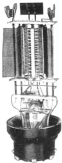




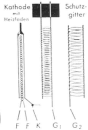




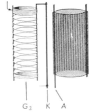




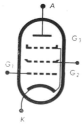
### Steuergitter m. Kühlflügel

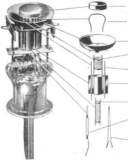


### Bremsgitter (Abschirmwicklung)      Maschenanode

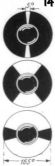
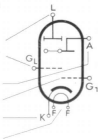


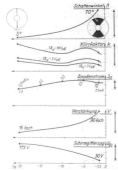
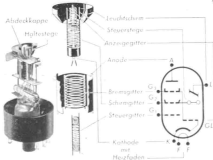
### Schaltbild



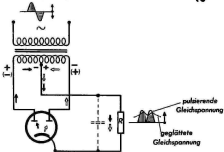


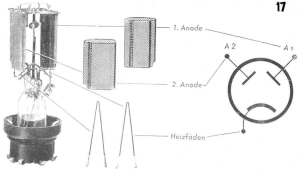
Abdeckkappe  
 Haltestege  
 Leuchtschirm  
 Anzeigegitter  
 Steuerstege  
 Anode  
 Steuergitter  
 Kathode  
 mit  
 Heizfaden

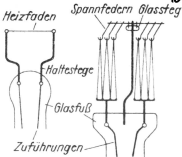


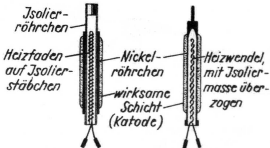


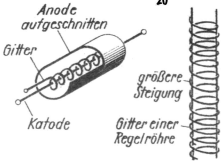
Wechselspannung

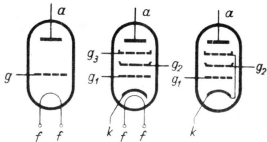


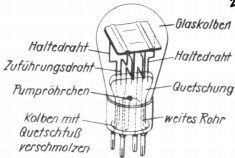


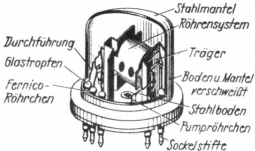


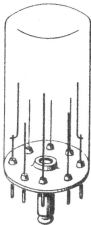


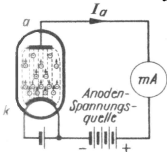


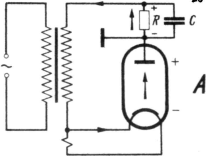


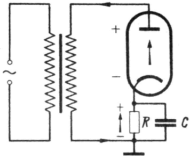


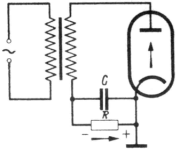












C

